

مکان یابی دقیق ژن مقاومت به زنگ زرد *Yr15* در گندم دوروم

Fine Mapping of Stripe Rust Resistance Gene *Yr15* in Durum Wheat

بابک عبداللهی مندولکانی^۱، محمدرضا بی‌همتا^۲، عباسعلی زالی^۳،
بهمن یزدی صمدی^۴، محمدرضا تقوی^۳ و آلان شولمن^۴

- ۱- دانشجوی سابق دکتری اصلاح نباتات، دانشکده کشاورزی دانشگاه تهران، کرج
- ۲- استاد، دانشکده کشاورزی دانشگاه تهران، کرج
- ۳- دانشیار، دانشکده کشاورزی دانشگاه تهران، کرج
- ۴- استاد، موسسه بیوتکنولوژی دانشگاه هلسینکی، فنلاند

تاریخ دریافت: ۱۳۸۶/۵/۴ تاریخ پذیرش: ۱۳۸۶/۹/۱

چکیده

عبداللهی مندولکانی، ب.، بی‌همتا، م.ر.، زالی، ع.، یزدی صمدی، ب.، تقوی، م.ر.، و شولمن، ا. ۱۳۸۷. مکان یابی دقیق ژن مقاومت به زنگ زرد *Yr15* در گندم دوروم. *نهال و بذر* ۲۴: ۳۷۱ - ۳۸۷.

زنگ زرد از مهم‌ترین بیماری‌های قارچی گندم است که در تمامی قاره‌ها و بیش از ۶۰ کشور جهان گزارش شده است. گندم وحشی امر *Triticum dicoccoides* به عنوان جد تراپلوبئید گندم زراعی از منابع ارزش برای ژن‌های مقاومت به زنگ زرد برای اصلاح گندم محسوب می‌شود. نمونه جی ۲۵ (G_{25}) از این گونه دارای ژن *Yr15* است که به ۳۱ نژاد زنگ زرد مقاومت نشان می‌دهد. این ژن روی کروموزوم 1BS مکان یابی شده است. به عنوان اولین قدم جهت همسانه سازی این ژن براساس نقشه، مکان یابی دقیق آن با استفاده از یک جمعیت F_2 شامل ۸۲۵ فرد انجام شد. با توجه به حضور رتروترنسپوزون‌ها در نواحی یوکروماتین و اطراف ژن‌ها، عمدتاً از نشانگرهای مبتنی بر رتروترنسپوزون‌ها استفاده شد. سه نشانگر REMAP، سه نشانگر SSR و هفت نشانگر REMAP با فاصله کمتر از ۲ سانتی‌متر گان با ژن شناسایی و نقشه ژنتیکی اطراف ژن اثبات شد. برخی نشانگرهای در سمت سانترومری ژن تفرق همزمان داشتند. یکی از نشانگرهای REMAP و دو نشانگر به نشانگرهای اختصاصی و همباز تبدیل شدند که نشانگر اختصاصی و همباز ۷۲ SC792 با ژن تفرق همزمان داشت. نشانگرهای اختصاصی و همباز ۱۰۰۰ SC1028 و ۱۶۰۰ SC1028 را در فاصله یک سانتی‌متر گان احاطه می‌کردند. این نشانگرهای می‌توانند برای گزینش به کمک نشانگر و همسانه سازی براساس نقشه این ژن استفاده شوند. نتایج این تحقیق نشان داد که نشانگرهای رتروترنسپوزونی برای مکان یابی دقیق ژن‌های کنترل کننده صفات مهم زراعی می‌توانند بسیار مفید باشند.

واژه‌های کلیدی: گندم دوروم، *Yr15*، مکان یابی دقیق، REMAP، IRAP

نویسنده مسئول: delbabak@yahoo.com

مقدمه

گندم (Ghannadha, 1996; Chen, 2005) تراپلوبیت وحشی *Triticum dicoccoides* یکی از غنی‌ترین منابع اصلاح گندم به ویژه برای مقاومت به زنگ زرد است. گرچه ر-آمیتای و استابر (Gerechter-Amitai and Stubbs, 1970) یکی از نمونه‌های بسیار مقاوم این گونه به نام جی ۲۵ (G₂₅) را در فلسطین اشغالی شناسایی کردند که مقاومت بالایی را در مراحل گیاهچه‌ای و بلوغ به زنگ زرد نشان می‌داد. مطالعات بعدی توسط همین گروه وجود ژن غالب Yr15 را در این نمونه نشان داد. انتقال این ژن به گندم تراپلوبیت و هگزاپلوبیت زراعی مقاومت آن را به ۳۱ نژاد زنگ زرد در گندم نشان داد (Grechter-Amitai et al., 1989) همکاران (McIntosh et al., 1996) با استفاده از روش‌های سیتوژنتیکی نشان دادند که این ژن روی کروموزوم 1BS قرار دارد. سان و همکاران (Sun et al., 1997) در مکانیابی اولیه، دو نشانگر RAPD و SSR را در فاصله ۱۲ و ۱۱ سانتی‌متر گانی این ژن شناسایی کردند. چاگو و همکاران (Chague et al., 1999) دو نشانگر RAPD و SSR را در فاصله ۱۲ سانتی‌متر گانی این ژن شناسایی کردند. پنگ و همکاران (Peng et al., 2000) اقدام به مکانیابی دوباره این ژن و ژن YrH52 کرده و نشان دادند که این دو ژن روی بازوی کوتاه کروموزوم 1B قرار گرفته‌اند. آن‌ها گزارش

گندم مهم‌ترین محصول غذایی در جهان است که تقاضا برای آن در سال ۲۰۲۰ میلادی به مقدار ۴۰ درصد بیش از سطح فعلی تقاضا پیش‌بینی شده است. این در حالی است که منابع در دسترس برای تولید گندم با محدودیت مواجه است. با توجه به این چشم‌انداز، در حال حاضر در کشورهای در حال توسعه تلاش زیادی برای افزایش تولید گندم به عمل می‌آید که از نظر اهمیت همانند کوشش‌های سه دهه پیش و دوران آغاز انقلاب سبز است (Anonymous, 2005).

در بین تنش‌های مختلف، تنش‌های زنده تحملی به گندم از جمله بیماری‌ها باعث کاهش قابل ملاحظه در عملکرد گندم می‌شوند که در بین این بیماری‌ها زنگ‌ها بیشترین خسارت را به این محصول وارد می‌کنند. زنگ زرد که عامل *Puccinia striiformis* f.sp. *tritici* آن قارچ است، مهم‌ترین بیماری گندم در نواحی خنک و مرطوب محسوب می‌شود. کاهش تا ۴۰ درصدی عملکرد در اثر این بیماری معمول است (Chen, 2005). در ایران ۸۰ درصد از کل زمین‌های زیر کشت گندم یعنی ۴/۴ میلیون هکتار استعداد ایدمی زنگ زرد دارد (Singh et al., 2004).

موثرترین راهکار ایجاد مقاومت برای این بیماری استفاده از ژن‌های مقاومت تمام مرحله‌ای در رقمی با زمینه متوضطی از مقاومت کمی است.

Huang *et al.*, 2003; Stein *et al.*, 2000)؛ Mago *et al.*, 2005؛ Ling *et al.*, 2003 RGAP (Kota *et al.*, 2006) و (Yan *et al.*, 2003) برای مکانیابی دقیق ژن‌های مقاومت به زنگ در گندم استفاده شده است. اگرچه این نشانگرها ابزاری مناسب برای این هدف هستند ولی برخی زمانبر و دارای چندشکلی کمتری هستند و قادر به شناسایی نشانگرها بسیار نزدیک با ژن‌های مقاومت نبوده‌اند. در سال‌های اخیر نشانگرها بی‌بر اساس توالی‌های رتروترنسپوزونی در ژنوم توسعه داده شدند (Waugh *et al.*, 1997؛ Gill *et al.*, 1996 a and b؛ Kalendar *et al.*, 1999). رتروترنسپوزون‌ها توالی‌های متحرک تکراری در ژنوم هستند که بر خلاف تنسپوزون‌ها کپی‌های خود را از طریق ساختن cDNA در ژنوم درج می‌کنند و خودشان از محل اولیه‌شان در ژنوم بریده نمی‌شوند. این نشانگرها تکرارپذیر، ساده و چندشکلی بسیار زیادی نشان می‌دهند. در برخی مطالعات ۲۵ درصد چندشکلی بیشتری در مقایسه با AFLP نشان داده‌اند (Yu and Wise, 2000؛ Waugh *et al.*, 1997) توزیع تصادفی و تعداد متغیر نسخه رتروترنسپوزون‌ها در ژنوم استفاده از آن‌ها را به عنوان نشانگرها ملکولی کارا میسر می‌سازد. همچنین بسیاری از مطالعات توالی‌یابی ژنومی حاکی از توزیع و حضور وسیع رتروترنسپوزون‌ها در نواحی یوکروماتینی و اطراف ژن‌ها است، بنابراین شناسایی نشانگرها

کردند که به خاطر کوچک بودن جمعیت مورد استفاده، ترتیب و فاصله نشانگرها با نتایج مطالعات قبلی مطابقت نداشته و جهت مکانیابی دقیق و مطمئن، نیاز به جمعیت‌های بزرگ‌تر و استفاده از افراد دارای نوترکیبی در اطراف ژن Yr15 است.

در گندم به طور متوسط هر سانتی مورگان ۴/۴ میلیون جفت باز (Mbp) برآورد شده است. این مقدار در نواحی مختلف ژنوم بسیار متغیر بوده و در برخی نواحی ژنومی با نوترکیبی بالا ممکن است کمتر باشد (Sandhu and Gill, 2002)، ولی به نظر می‌رسد که هر سانتی‌مورگان در قطعه حاوی ژن Yr15 که از گونه *T. dicoccoides* به گندم دوروم و نان وارد شده است بیشتر از حتی مقدار متوسط باشد چون غالباً در تلاقی‌های دور، به ویژه در ژنوم B نسبت نوترکیبی کاهش می‌یابد. بر این اساس اندازه قطعه حامل ژن Yr15 بین دو نشانگر براساس مطالعه چاگو و همکاران Chague *et al.*, 1999) در حدود ۶۰ میلیون جفت باز و حتی بیشتر برآورد می‌شود (هر سانتی‌مورگان ۵ میلیون جفت باز در نظر گرفته شده است)، بنابراین جهت تسهیل گزینش به کمک نشانگر و همسانه سازی براساس نقشه این ژن، نیاز به نشانگرها خیلی نزدیک‌تر و استفاده از جمعیت‌های بزرگ‌تر است.

نشانگرها مختلفی مانند SSR، RFLP، AFLP، EST

تلاقی برگشتی G_{25} با DW_1 حاصل شده‌اند) بودند. جمعیت مورد استفاده برای مکان‌یابی، ۸۲۵ فرد F_2 حاصل از تلاقی لاین‌های تقریباً ایزوژنیک (Near Isogenic Line) (B_9 و B_{10} با DW_1 بود. یعنی این جمعیت عمدتاً برای قطعه حامل ژن $Yr15$ تفرق نشان می‌داد. استخراج DNA طبق روش CTAB با تیمار RNaseA انجام شد (Ausubel *et al.*, 1995). تعداد ۶۰۰ فرد از این جمعیت F_2 ابتدا براساس نشانگرهاي $Xgwm911$ و $Xgwm18$ غربال شده و افراد نوترکیب برای فاصله بین این دو نشانگر انتخاب شدند. این دو نشانگر احاطه کننده ژن $Yr15$ با حد فاصل ۲۳ سانتی مورگان بودند. این دو نشانگر احاطه کننده ژن $Yr15$ با حد فاصل ۲/۷ سانتی مورگان بودند. بقیه افراد جمعیت (۲۲۵ فرد) بر اساس دو نشانگر $Xbarc8$ و $Xgwm413$ که در مرحله قبل شناسایی شدند غربال شده و افراد نوترکیب برای این فاصله شناسایی شدند. ده بذر F_3 از هر کدام از افراد نوترکیب F_2 براساس جفت نشانگرهاي مربوطه غربال شده و یک فرد نوترکیب هموزيگوس از بین آن‌ها انتخاب و برای مکان‌یابی دقیق استفاده شد. هشت بذر F_4 از هر کدام از نوترکیب‌های هموزيگوس F_3 با نژاد 38E134 (این نژاد روى ژن‌های $Yr2$, $Yr6$, $Yr7$ و $Yr9$ بیماریزا است) زنگ زرد در مرحله گیاهچه‌ای آلوده شد و

بسیار نزدیک با ژن‌های مهم زراعی با استفاده از این نشانگرها امکان پذیر است (Kumar and Bennetzen, 1999). از معروف‌ترین این نشانگرها می‌توان Inter-Retrotransposon (IRAP) REMAP (Amplified Polymorphism Retrotransponson-Microsatellite) Amplified Polymorphism (Amplified Polymorphism) اشاره کرد. هر دو این نشانگرها چندشکلی را در نواحی ادغام رتروترنسپوزون‌ها در ژنوم شناسایی می‌کنند. به طوری که IRAP نواحی بین رتروترنسپوزون‌ها و REMAP نواحی بین رتروترنسپوزون‌ها توالي‌های ريزماهواره را تکثیر می‌کند. در این مطالعه هدف توسعه نشانگرهاي رتروترنسپوزونی در گندم، استفاده از آن‌ها برای اولین بار جهت شناسایی نشانگرهاي بسیار نزدیک (کمتر از یک سانتی مورگان) با ژن $Yr15$ و تبدیل این نشانگرها به نشانگرهاي اختصاصی و در صورت امکان همبارز جهت استفاده در برنامه‌های گزینش به کمک نشانگر و همسانه‌سازی براساس نقشه این ژن بود.

مواد و روش‌ها

مواد گیاهی

مواد گیاهی شامل لاین دهنده ژن $Yr15$, LDN , *T. dicoccoides* G_{25} و DW_1 حساس به زنگ زرد و فاقد ژن $Yr15$ و لاین‌های B_9 و B_{10} (لاین‌های BC_3F_9) دارای ژن $Yr15$ در زمینه ژنتیکی DW_1 (که از طریق

ژل آگارز ۲ درصد رزلوت لاین (ResoluteTm line Biozyme) شرکت بیوزایم (Biozyme) ساخته ۹۰ و بافر STBE (Kalendar and Schulman, 2006) یک برابر انجام شد و رنگ آمیزی با اتیدیوم بروماید صورت گرفت. برای نشانگر ریزماهواره Xgwm413 که اختلاف آلل مقاومت و حساسیت دو جفت باز بود محصولات تکثیری با استفاده از دستگاه توالی یا ب ABIPrism-3130 XL قطعات در نمونه های مختلف برآورد شد. برای این کار آغازگر رفت با استفاده از رنگ فلورسنت فم (Fam) نشاندار شد و یک میکرولیتر از محصولات با ۴۰ میکرولیتر فرماید GS120 LI2Tm و ۰/۱ میکرولیتر از استاندارد مخلوط شده و در دستگاه بارگذاری شد. کشف پیک ها و سیگنال های فلورسنت با استفاده از نرم افزار PeakScanner نسخه یک (Applied Biosystems) انجام شد.

نشانگرهای REMAP و IRAP

تعداد ۲۰۰ آغازگر IRAP و ۴۲۰ ترکیب آغازگری REMAP (حاصل از ترکیب ۴۲ آغازگر مبتنی بر توالی های ریزماهواره با ۱۰۰ آغازگر IRAP) در والدین جهت شناسایی نشانگر های چندشکل به طور بالقوه پیوسته با ژن Yr15 مورد ارزیابی قرار گرفتند. برخی از آغازگر های REMAP و ترکیبات آغازگری آغازگر های REMAP الگوی نواری واضحی تولید نکردند. واکنش زنجیره ای پلیمراز، الکتروفورز و رنگ

آزمون مقاومت و حساسیت (وجود یا عدم وجود ژن Yr15) براساس روش گرچتر-آمیتای (Grechter-Amitai *et al.*, 1989) انجام شد.

نشانگرهای ریزماهواره

آغازگرهای ریزماهواره Xgwm413 ، Xwmc406 ، Xwmc216 و Xbrc8 که همگی روی کروموزوم IBS و بین دو نشانگر ریزماهواره Xgwm18 و Xgwm911 قرار دارند، مورد استفاده قرار گرفتند. واکنش زنجیره ای پلیمراز برای نشانگر های ریزماهواره در حجم ۲۰ میکرولیتر شامل بافر یک برابر با یوتولز (BioTools) با ۲ میلی مول MgCl₂ ، ۰/۲۵ میکرومول از هر dNTP ، ۰/۲۵ آغازگر و یک واحد آنزیم تک (Taq) پلیمراز شرکت بیوتولز در ترموسایلکر PTC-100 Programmable Thermal Controller انجام شد. برنامه دمائی واکنش زنجیره ای پلیمراز برای نشانگر های ریزماهواره شامل ۹۶ درجه به مدت ۴ دقیقه برای واسرشت سازی اولیه، سپس ۳۴ چرخه شامل ۹۶ درجه به مدت ۴۰ ثانیه (واسرشت سازی)، ۶۰ درجه به مدت ۴۰ ثانیه (اتصال آغازگرها)، ۷۲ درجه به مدت ۲ دقیقه (بسط) و بسط نهایی ۷۲ درجه به مدت ۵ دقیقه بود. تفکیک محصولات تکثیری در همه نشانگر های ریزماهواره به جز Xgwm413 با استفاده از

هر نشانگر بود. چرخه دمایی شامل ۹۵ درجه به مدت ۵ دقیقه برای واسرشت‌سازی اولیه، ۲۳ چرخه شامل ۹۵ درجه به مدت ۲۰ ثانیه (واسرشت‌سازی)، ۶۰ درجه به مدت ۴۰ ثانیه (اتصال آغازگر)، ۷۲ درجه به مدت ۱۰ تا ۱۲۰ ثانیه بسته به اندازه قطعه اتصالی (بسط) و بسط نهایی به مدت ۲ دقیقه در ۷۲ درجه بود. محصولات با استفاده از ژل آگارز ۱/۶ درصد تفکیک شدند. ۱۵ میکرولیتر از کلونی‌های صحیح در محیط LB با غلظت ۱۰۰ میکروگرم در میلی لیتر آمپی‌سیلین در دمای ۳۷ درجه روی شیکر به مدت ۱۲ ساعت رشد داده شدند. پلاسمیدها با کیت UP(5'CGACGTTGTAAAACGACGCCAGT3') و RP (5'TTCACACAGGAAACAGCTATGAC3') در دستگاه توالی‌یاب ABI3700 انجام شد. آغازگرهای اختصاصی برای توالی‌ها طراحی شدند و دوباره روی والدین و جمعیت در حال تفرق ارزیابی شدند تا از صحت قطعه همسانه شده اطمینان حاصل شود.

تجزیه داده‌ها

نقشه پیوستگی با استفاده از نرم افزار MapMaker (Lander *et al.*, 1987) نقشه‌یابی محاسبه شد (بدلیل نزدیکی نشانگرها تعداد نوترکیبی مستقیماً به فاصله ژنتیکی تبدیل شد). جهت طراحی آغازگر از نرم افزار

آمیزی طبق روش کلندر و شولمن (Kalender and Schulman, 2006) انجام شد.

تبدیل نشانگرهای با فاصله خیلی نزدیک با ژن Yr15 به نشانگرهای اختصاصی

یک نشانگر IRAP و چهار نشانگر REMAP که نزدیک‌ترین فاصله را با ژن داشتند جهت تبدیل به نشانگرهای اختصاصی انتخاب شدند. نشانگر RE443-495 با ژن کاملاً پیوسته بود. دیگر نشانگرها که فاصله نزدیکی با ژن داشتند عبارت بودند از RE438-483، RE440-679، IR2107 و RE443-834. برای تولید نشانگرهای اختصاصی، نوارهای مربوطه از ژل بریده شده و MinEliteTm با استفاده از کیت استخراج از ژل شرکت کیاژن (QiaGen) خالص‌سازی شدند. همسانه سازی با ناقل pGEM[®]-T و تراریزش با سلول‌های JM109 در محیط کشت LB با غلظت ۱۰۰ میکروگرم در میلی لیتر آمپی‌سیلین و حاوی ۴۴ میکرولیتر مخلوط IPTG + Xgal (۴۰ میکرولیتر Xgal و ۴ میکرولیتر IPTG به ترتیب با غلظت‌های ۲۰ و ۲۰۰ میلی‌گرم بر میلی لیتر) انجام شد. کلونی‌های نوترکیب در ۲۰۰ میکرولیتر محلول ذخیره کلونی شامل 5 mM MgCl₂, 10 mM NaCl, 10 mM Tris-HCl, pH, 7 حل شدند و دو میکرولیتر از آن‌ها با استفاده از آغازگرهای مربوط به هر نشانگر در واکنش ۲۰ میکرولیتری زنجیره‌ای پلیمراز تست شدند. اجزای واکنش مطابق واکنش اصلی برای

Xbarc8 چندشکل بین والدین و به طور بالقوه با ژن پیوسته بودند. نشانگر Xgwm413 سمت سانترومی، ۱۰ نوترکیبی (۱/۲۲) سانتی مورگان) با ژن نشان داد. نشانگرهای سانتی مورگان) در طرف تلومری Xwmc406 و Xbarc8 کروموزوم ۱BS، به ترتیب ۱۱ (۱/۳۵) سانتی مورگان) و ۱۵ نوترکیبی (۱/۸۵) سانتی مورگان) با ژن نشان دادند. بدین ترتیب Xgwm413 نزدیکترین نشانگر ریزماهواره به ژن بود که ال مقاومت در لاینهای B₉ و B₁₀ ۹۲ جفت باز، ولی در لاینهای حساس₁ DW₁ و LDN₁ ۹۴ جفت باز بود.

نشانگرهای REMAP و IRAP

از ۲۰۰ آغازگر IRAP مورد استفاده، ۲۸ آغازگر چندشکلی به طور بالقوه پیوسته با ژن ایجاد کردند. غربال افراد نوترکیب با آنها جهت به دست آوردن فاصله ژنتیکی دقیق و شناسایی نشانگرهای فوق العاده نزدیک، نشان داد که سه نشانگر IR2107، IR517 و IR833 در فاصله کمتر از یک سانتی مورگانی ژن قرار داشتند. نشانگر IR2107 با ۶ نوترکیبی نسبت به ژن (۰/۷۳) سانتی مورگان) در سمت تلومری، نزدیکترین نشانگر IRAP بوده و نشانگرهای IR517 و IR833 به ترتیب با (۰/۰۴) سانتی مورگان) و (۰/۰۷) سانتی مورگان) نوترکیبی در سمت سانترومی قرار داشتند. معمولاً نشانگرهای IRAP قطعاتی بین ۴۰۰ تا ۳۰۰۰ جفت باز تولید کردند.

(Kalender, 1998-2007) FastPCR شد. برای تجزیه و تحلیل داده های مربوط به نشانگر Xgwm413 از نرم افزار PeakScanner نسخه یک استفاده شد.

نتایج و بحث

غربال جمعیت F₂ برای شناسایی افراد نوترکیب

ابتدا ۶۰۰ فرد جمعیت F₂ با استفاده از نشانگرهای Xgwm911 در طرف تلومری و Xgwm18 در طرف سانترومی ژن غربال شد و افراد نوترکیب در این فاصله براساس این نشانگرها شناسایی و برای توسعه نشانگرهای ریزماهواره استفاده شدند. این دو نشانگر توسط Peng *et al.*, 2000 پنگ و همکاران (۱۲۳ شناسایی شده و ژن Yr15 را با حد فاصل ۲۳ سانتی مورگان احاطه می کردند. البته جمعیت مکانیابی برای آن مطالعه کوچک بوده (۱۲۳ فرد) و این فاصله نمی تواند دقیق باشد. ولی به هر حال امکان شناسایی افراد دارای نوترکیبی در اطراف ژن براساس این دو نشانگر امکان پذیر بود. تعداد ۲۲۵ فرد دیگر برای دو نشانگر Xgwm413 و Xbarc8 که در مرحله قبل توسعه داده شدند غربال شده تا ناحیه حامل ژن جهت جستجوی نشانگرهای نزدیک تر محدود تر شود. با استفاده از این دو نشانگر فاصله حامل ژن به ۲/۷ سانتی مورگان محدود شد.

نشانگرهای ریزماهواره
از بین نشانگرهای ریزماهواره مورد استفاده، سه نشانگر Xgwm406، Xgwm413 و

همزمان داشت و یک قطعه ۷۹۰ جفت بازی را در افراد مقاوم تولید می‌کرد. فواصل ژنتیکی و تعداد نوترکیبی دیگر نشانگرهای REMAP در جدول ۱ نشان داده شده است. نشانگرهای REMAP معمولاً قطعاتی بین ۱۰۰ تا ۳۰۰۰ جفت باز تولید کردند. لازم به ذکر است که برخی آغازگرهای IRAP و تعداد زیادی ترکیب آغازگری REMAP بیش از یک نوار چندشکل به طور بالقوه پیوسته با ژنین والدین تولید کردند.

جدول ۱- نشانگرهای پیوسته با ژن Yr15

Table 1. Molecular markers linked to gene *Yr15*

Marker	ناشانگر Marker	فاصله ژنتیکی Genetic distance	تعداد نوترکیبی Number of recombinations	اندازه قطعه Fragment size	موقعیت نشانگر Marker position	^۱ توالی (۵'-۳') Sequence (5'-3')
SC792		0.00	0	792	Co-segregated	acacacacacacacact tctgcacttggaggccaaac
SC1028		0.24	2	1028	Proximal	cctcggtgggttcgacactttaacacaca caactcttagttaggact
IR-517		0.24	2	1900	Proximal	tgctctcggtggatcgac aacaacgtcagtcgggttagtacacaca
SC776		0.60	5	776	Proximal	cacacgtgtcag caccaccaccaccaccacttgaattt
RE426-455		0.60	5	1300	Proximal	ctgctacgtcccc catgatgcaaaatggacgtatcagaaagc
SC1600		0.73	6	1600	Distal	atgatgcaaaatggacgtatcact gcataatggcgtgacacgtacacacaca
SC326		0.85	7	326	Proximal	cacaccgatagtca Tgatecccctacacttgggtca
IR833		0.85	7	1470	Proximal	cacacacacacacacacacatcgcat ccgtgcggccccaac
RE425-2113		1.22	10	970	Proximal	tgctgtctgtctgtgcctctgtgg atcgacactcc
RE459-516		1.22	10	1500	Proximal	tgcttgcttagttgtggatcgatcg tccttgca
Xgm413		1.22	10	92	Proximal	gccccatcgatcgatggaaaacagaag cggggcgaacatcacacataaaaaaca
Xbarc8		1.47	12	223	Distal	tatgagggtcggtcaataacaacgagttt ctgcaaacaatgg
Xwmc406		1.97	16	217	Distal	

۱. برای نشانگرهای REMAP و SCAR توالی اول و دوم به ترتیب آغازگرهای رفت و برگشت هستند.

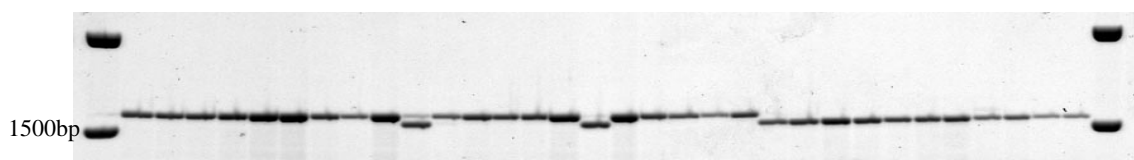
1. For REMAP and SCAR markers, the first and second sequence are forward and reverse primer sequences, respectively.

از بین ۴۲۰ ترکیب آغازگری REMAP مورد استفاده، ۸۰ آغازگر چندشکلی به طور بالقوه پیوسته با ژنین والدین تولید کرده که استفاده از افراد نوترکیب جهت محاسبه فاصله دقیق ژنتیکی نشان داد که هفت نشانگر RE438-483، RE443-834، RE443-495 و RE459-516، RE426-455، RE440-679 نزدیکترین نشانگرهای REMAP نسبت به ژن هستند (با فاصله ژنتیکی RE443-495 کمتر از ۱/۵ سانتی مورگان). نشانگر ۱۵ نزدیکترین نشانگر بود و کاملاً با ژن تفرق جدول ۱- نشانگرهای پیوسته با ژن Yr15

به ترتیب قطعاتی با اندازه‌های ۱۶۰۰، ۷۹۲ و ۱۰۲۸ جفت‌باز در افراد مقاوم تولید کردند و به ترتیب SC1600، SC792 و SC1028 نامیده شدند (SC مخفف SCAR است) و در جمعیت نوترکیب نیز مانند نشانگرهای اصلی که از آن منشا گرفته بودند عمل کردند. شکل‌های ۱ و ۲ به ترتیب الگوی نواری نشانگرهای SC1600 و SC792 را در تعدادی از افراد مقاوم و حساس جمعیت در حال تفرق نشان می‌دهد. در این شکل‌ها والدین وارد نشدند. افراد با نوار سنگین تر دارای ژن Yr15 (مقاوم) و افراد دارای نوار سبک‌تر (حساس) فاقد ژن Yr15 هستند.

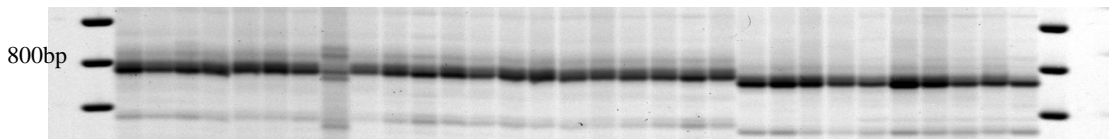
نشانگرهای اختصاصی و همباز حاصل از نشانگرهای REMAP و IRAP

تعدادی از نزدیک‌ترین نشانگرها شامل RE438-483، RE443-495 و RE440-679، IR2107 توالي یابی شدند. سپس آغازگرهای اختصاصی برای آن‌ها طراحی شده تا به نشانگرهای اختصاصی و در صورت امکان همباز حجهت تسهیل گزینش به کمک نشانگر و همسانه‌سازی براساس نقشه تبدیل شوند. سه نشانگر RE-443-495، IR-2107 و RE-443-834 به نشانگرهای همباز و اختصاصی تبدیل شدند و



شکل ۱- الگوی نواری نشانگر SC1600 روی تعدادی افراد مقاوم (دارای نوار سنگین‌تر) و حساس (دارای نوار سبک‌تر) جمعیت F_2 نوترکیب. فرد شماره ۱۰ و ۱۶ از سمت چپ دارای نوترکیبی برای این نشانگر هستند

Fig. 1. Banding pattern of the SC1600 marker on some resistant (higher band) and susceptible (lower band) F_2 recombinant plants. Number 10 and 16 from the left are recombinants for this marker



شکل ۲- الگوی نواری نشانگر SC792 روی تعدادی از افراد مقاوم (دارای نوار سنگین‌تر) و حساس (دارای نوار سبک‌تر) جمعیت F_2 نوترکیب

Fig. 2. Banding pattern of the SC792 marker on some resistant (higher band) and susceptible (lower band) F_2 recombinant plants

این ژن را کاهش دهد. بنابراین استفاده از جمیعت‌های بزرگ‌تر و شناسایی افراد دارای نوترکیبی در اطراف ژن، احتمال شناسایی نشانگرهای نزدیک‌تر حتی به لحاظ فیزیکی را افزایش می‌دهد که برای همسانه سازی بر اساس نقشه این ژن ضروری است. از طرف دیگر با توجه به این که قطعه حاوی ژن *Yr15* از گونه وحشی است، ممکن است حامل ژن‌های نامطلوب پیوسته با ژن مورد نظر باشد (Grechter-Amitai and Grama, 1974)

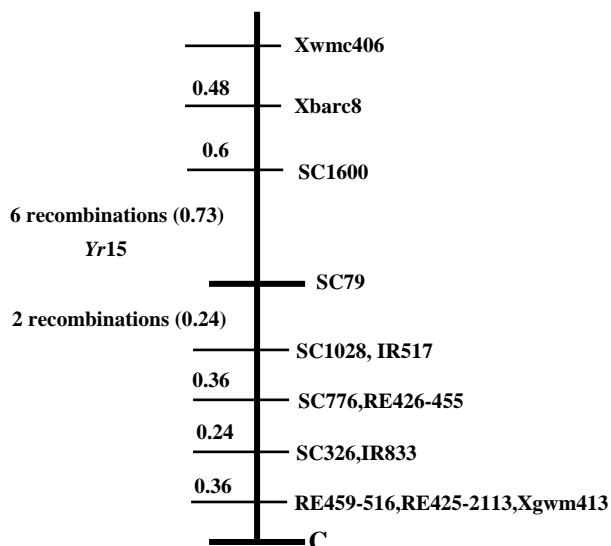
بنابراین بهتر است نشانگر به لحاظ فیزیکی نزدیکی برای گزینش به کمک نشانگر هم استفاده شود تا حدالامکان از انتقال دیگر ژن‌های نامطلوب پیوسته با ژن مورد نظر جلوگیری شود.

در کل بیش از ۱۵۰ نوار چند شکل به طور بالقوه پیوسته با این ژن بین والدین شناسایی شدن. دلیل تعداد زیاد نوارهای چندشکل، شاید چندشکلی بالای نشانگرهای رتروترنسپوزونی و منشا قطعه حامل ژن *Yr15* بوده که از گونه وحشی است. هوانگ و همکاران (Huang *et al.*, 2003) ژن *Lr21* از گونه وحشی *Aegilops tauschii* به گندم نان چندشکلی را در نواحی اطراف ژن افزایش داده است. سه نشانگر ریزماهواره، سه نشانگر IRAP و هفت نشانگر REMAP فاصله نزدیکی با ژن داشتند (کمتر از ۲ سانتی‌مترگان). نشانگر *Xgwm413* نزدیک‌ترین نشانگر ریزماهواره بود که در سمت سانترومری

نشانگرهای RE438-483 و RE440-679 به نشانگرهای اختصاصی تبدیل شدند و ال مقاومت و حساسیت با اندازه‌های ۳۲۶ و ۷۷۶ جفت‌باز تکثیر کردند و به ترتیب SC326 و SC776 نامیده شدند. جدول ۱ موقعیت نشانگرها، تعداد نوترکیبی، فاصله ژنتیکی، توالی آغازگری و اندازه قطعه مربوط به آن‌ها را نشان میدهد. در این جدول به جای نشانگرهای REMAP و IRAP تبدیلی، نشانگرهای اختصاصی حاصل از آن‌ها قرار داده شده است. معرفی نشانگرهای ریزماهواره *Xgwm911* توسط پنگ و همکاران (*Peng et al.*, 2000) شناسایی افراد نوترکیب در اطراف ژن را ساده‌تر می‌سازد. تولید لاین‌های نوترکیب و استفاده از آن‌ها برای مکان‌یابی دقیق مزایای زیادی دارد. اولاً این امر فقط امکان جستجوی نشانگرهای جدید در فاصله بین دو نشانگر مذکور را مقدور می‌سازد و نیازی به ارزیابی نشانگرهای بالقوه پیوسته با ژن روی همه افراد جمعیت *F₂* نیست. از طرف دیگر قطعه حامل ژن *Yr15* از گونه وحشی *T. dicoccoides* به گندم زراعی وارد شده و در تلاقی‌های دور مقدار نوترکیبی به خصوص در مورد ژنوم B کاهش می‌یابد (Talbert *et al.*, 1995). مکینتاش و همکاران (McIntosh *et al.*, 1996) نشان دادند که قطعه حامل ژن *Yr15* از قطعه همولوگ آن در گندم هگراپلوبیت و تترابلوبیت زراعی مقداری متفاوت است. این امر می‌تواند نوترکیبی در قطعه حامل

RE459-516، RE426-455، SC326، IR833 با ۵۱۶، RE425-2113 و Xgwm413. شاید علت آن کاهش نسبت نوترکیبی در سمت سانتروم باشد (Sandhu *et al.*, 2001) و Sandhu and Gill, 2002 نوترکیبی در طول کروموزوم‌ها یکسان نیست و در نواحی تلومری چندین برابر نواحی سانترومی کروموزوم‌ها است (Ling *et al.*, 2003). شکل ۳ نقشه ژنتیکی کروموزوم 1BS حول ژن Yr15 براساس نشانگرهای مورد مطالعه را نشان می‌دهد.

قرار داشت و با نشانگرهای RE459-516 و RE425-2113 تفرق همزمان داشت. نشانگر SC792 نزدیک‌ترین نشانگر بود و هیچ گونه نوترکیبی با ژن نشان نداد. نشانگر SC1600 تنها نشانگر رتروترنسپوزونی در طرف تلومری بود که فاصله ژنتیکی نزدیکی (۰.۷۳ سانتی‌مورگان) با ژن داشت. بقیه نشانگرهای IRAP و REMAP نزدیک به ژن در طرف سانترومی کروموزوم ۱BS تعدادی از نشانگرهای با هم تفرق داشتند (نشانگر SC1028، IR517، SC776، RE426-455، SC326، IR833، RE459-516، RE425-2113، Xgwm413) با SC1028، IR517، SC776، RE426-455، SC326، IR833، RE459-516، RE425-2113، Xgwm413



شکل ۳- نقشه ژنتیکی دقیق کروموزوم 1BS اطراف ژن Yr15، فواصل ژنتیکی در سمت چپ بر حسب سانتی‌مورگان است

Fig. 3. Fine genetic map of chromosome 1BS around gene Yr15, genetic distances on the left are in centimorgan

توالی‌یابی ژنومی نشان داده شده است که احتمال مشاهده نشانگرهای رتروترنسپوزونی در

نزدیک‌ترین نشانگرهای نشانگرها، نشانگرها رتروترنسپوزونی بودند. براساس داده‌های

جدید در داخل این ناحیه قرار خواهد گرفت و حداقل در مورد نشانگرهای IRAP اختصاصی LTR کردن آن مشکل خواهد بود. چون نواحی برای یک خانواده رتروترنسپوزونی محفوظ بوده و مکان‌های زیادی تکثیر خواهند شد. در مورد نشانگرهای REMAP که یکی از آغازگرها براساس توالی ریزماهواره است در صورت اختصاصی کردن آغازگر مربوط به توالی ریزماهواره کار راحت‌تر خواهد بود. ولی بهتر است قبل از طراحی آغازگر جستجوی نشانگرهای توالی یابی شده در بانک‌های اطلاعاتی توالی‌های تکراری و رتروترنسپوزون‌ها انجام شود و عمومی بودن این توالی‌ها و بخش‌های انتهایی آن‌ها مشخص شود. در بسیاری از مطالعات نشان داده شده است که تولید نشانگرهای اختصاصی در گندم به لحاظ همولوژی بین کروموزوم‌های همیولوگ و حتی دیگر گروه‌های همولوگ سخت است (Peng *et al.*, 2004).

بر اساس گزارش ساندھو و همکاران (Sandhu *et al.*, 2001) غنی از ژن 1S0.8 کروموزوم 1BS در ناحیه این ناحیه ۲۵ سانتی‌مورگان بوده که فقط ۶ درصد از بازوی کروموزومی بوده ولی ۸۲ درصد از نوترکیی‌ها در این ناحیه رخ می‌دهد. تعداد جفت باز در هر سانتی‌مورگان در این ناحیه ۳۶۵ هزار برآورد شده است که در کل 1BS به طور متوسط پنج میلیون جفت باز است. بنابراین در صورتی که با توجه به موارد بالا ژن

نواحی نزدیک ژن‌ها نسبت به سایر نشانگرهای زیاد است (SanMiguel *et al.*, 1998)، (Huang *et al.*, 2003).

در تبدیل نشانگرهای رتروترنسپوزونی به نشانگرهای اختصاصی و همباز، سه نشانگر اختصاصی و همباز (SC1028، SC792 و SC1600) و دو نشانگر اختصاصی و غالب (SC326 و SC776) تولید شدند که نشانگر SC792 کاملاً با ژن پیوسنگی داشت. همسانه‌سازی و توالی یابی ال‌ل‌های این نشانگر در افراد مقاوم و حساس نشان داد که ناحیه چندشکل در بخش داخلی توالی قرار داشته و در نواحی اتصال آغازگر نیست. به نظر می‌رسد که اگر ناحیه چندشکل و دارای جهش در نواحی اتصال آغازگر باشد در صورت توالی یابی قطعه مربوطه و طراحی آغازگر اختصاصی امکان تبدیل آن به نشانگر همباز سخت خواهد بود. در این صورت فقط یکی از ال‌ل‌ها تکثیر خواهد شد. استفاده از ترکیبات مختلف آغازگرها قبلی و اختصاصی در والدین کاملاً این مسئله را آشکار ساخت. در مورد تبدیل این نشانگرها به نشانگرها اختصاصی بایستی به محل طراحی آغازگر در داخل توالی رتروترنسپوزون‌ها هم توجه کرد. اگر توالی رتروترنسپوزونی در ناحیه داخلی تر (توالی‌های محفوظ تکراری در دو انتهای LTR رتروترنسپوزون‌ها هستند که معمولاً آغازگرها بر اساس آن‌ها طراحی می‌شوند) طراحی شود در صورت اختصاصی کردن آغازگر، آغازگر

از ترکیب ژن‌های مربوط به مقاومت گیاهچه‌ای (مانند Yr15) با مقاومت HTAP (High Temperature Adult Plant Resistance) استفاده شود (Singh *et al.*, 2004؛ Chen, 2005). ادغام این دو مقاومت سخت بوده که در این راستا نشانگرهای ملکولی معرفی شده برای ژن Yr15 بسیار مؤثر خواهد بود.

سپاسگزاری

از مسئولین گروه زراعت و اصلاح نباتات پردیس کشاورزی و منابع طبیعی دانشگاه تهران و وزارت علوم، تحقیقات و فن‌آوری به خاطر پشتیبانی‌های مالی سپاسگزاری می‌شود. از دکتر روسلان کلندر و فرانسوا سابت، محققین آزمایشگاه ژنومیکس گیاهی موسسه بیوتکنولوژی دانشگاه هلسینکی به خاطر بحث‌های بسیار مفید و ارزنده در تهیه آغازگرهای رتروترنسپوزونی و مقاله، از مارکو یاسکلاین، آنه-ماری ناروانتو و اورسولا لانگویست به ترتیب دانشجو و تکنسین‌های آزمایشگاه مذکور به خاطر کمک در ارزیابی مواد گیاهی تشکر و قدردانی می‌شود.

Yr15 در ناحیه غنی از ژن 1S0.8 قرار گرفته باشد انتظار می‌رود که نشانگرهای کاملاً پیوسته و حتی سایر نشانگرهای با فاصله‌ی ژنتیکی کمتر از یک سانتی‌متر گان در این مطالعه، فاصله‌ی فیزیکی بسیار نزدیکی با ژن داشته باشند، بنابراین پیش‌بینی می‌شود حداقل در صورت استفاده از نشانگر کاملاً پیوسته با ژن یعنی SC792 جهت جداسازی و غربال کتابخانه ژنومی برای شناسایی کلون BAC حاوی ژن Yr15، نیاز به حداقل تعداد کروموزوم پیمایی باشد. البته باستی به این نکته نیز توجه کرد که قطعه حاوی ژن Yr15 از گونه وحشی به گندم دوروم زراعی وارد شده و بدین دلیل احتمالاً نوترکیبی در این قطعه کمتر از مقدار آن نسبت به مقدار برآورد شده خواهد بود. به حال غربال‌سازی کتابخانه ژنومی با این نشانگر که قدم بعدی در ادامه این مطالعه خواهد بود تعداد دقیق نوترکیبی در این قطعه را مشخص خواهد کرد.

در این مطالعه نشانگرهای مطمئن جهت استفاده در گزینش به کمک نشانگر معرفی شد. به حال جهت ایجاد مقاومت پایدار برای زنگ زرد پیشنهاد شده که

References

- Anonymous, 2005.** Statistic Report. Ministry of Jihad-e-Agriculture, Tehran, Iran.
- Applied Biosystems, 2006.** PeakScanner software version 1.0.
- Ausubel, F.M., Brent, R., Kingston, R.E., Moore, D.D., Seidman, J.G., Smith, J.A., Struhl, K., Albright, L.M., Coen, D.M., and Varki, A.** 1995. Current Protocols in

- Molecular Biology. John Wiley & Sons, New York.
- Chague, V., Fahima, T., Dahan, A., Sun, G.L., Korol, A.B., Ronin, Y.L., Grama, A., Roder, M.S., and Nevo, E. 1999.** Isolation of microsatellite and RAPD markers flanking the *Yr15* gene of wheat using NILs and bulked segregant analysis. *Genome* 42: 1050-1056.
- Chen, M.X. 2005.** Epidemiology and control of stripe rust (*Puccinia striiformis* f.sp. *tritici*) on wheat. *Canadian Journal of Plant Pathology* 27: 314-337.
- Gerechter-Amitai, Z.K., and Grama, A. 1974.** Inheritance of resistance to stripe rust (*Puccinia striiformis*) in crosses between wild emmer (*Triticum dicoccoides*) and cultivated tetraploid and hexaploid wheats. 1. *Triticum durum*. *Euphytica* 23: 387-392.
- Gerechter-Amitai, Z.K., and Stubbs, R.W. 1970.** A valuable source of yellow rust resistance in Israeli populations of wild emmer, *Triticum dicoccoides* Koern. *Euphytica* 19: 12-21.
- Gerechter-Amitai, Z.K., Van Silfhout, C.H., Grama, A., and Kleitman, F. 1989.** *Yr15* a new gene for resistance to *Puccinia striiformis* in *Triticum dicoccoides* sel. G-25. *Euphytica* 43: 187-190.
- Ghannadha, M.R. 1996.** Improvement strategies for resistance to stripe rust. Proceedings of the 4th Iranian Congress of Agronomy and Plant Breeding, Faculty of Agriculture, Isfahan University of Technology, Isfahan, Iran, pp. 382-426 (in Farsi).
- Gill, K.S., Gill, B.S., Endo, T.R., and Boyko, E.V. 1996a.** Identification and high density mapping of gene-rich regions in chromosome group 5 of wheat. *Genetics* 143: 1001-1012.
- Gill, K.S., Gill, B.S., Endo, T.R., and Boyko, E.V. 1996b.** Identification and high density mapping of gene-rich regions in chromosome group 1 of wheat. *Genetics* 144: 1883-1891.
- Huang, L., Brooks, S.A., Li, W., Fellers, J.P., Trick, H.N., and Gill, B.S. 2003.** Map-Based cloning of leaf rust resistance gene *Lr21* from the large and polyploid genome of bread wheat. *Genetics* 164: 655-664.
- Kalendar, R. 1998-2007.** FastPCR©. <http://www.Biocenter.helsinki.fi/bi/Programs/fastpcr>.
- Kalendar, R., Grob, T., Regina, M., Souniemi, A., and Schulman, A. 1999.** IRAP

- and REMAP: two new retrotransposon-based DNA fingerprinting techniques. *Theoretical and Applied Genetics* 98: 704-711.
- Kalendar, R., and Schulman, A.H. 2006.** IRAP and REMAP for retrotransposon-based genotyping and fingerprinting. *Nature Protocols* 1: 2478 - 2484
- Kota, R., Spielmeyer, W., McIntosh, R.A., and Lagudah, E.S. 2006.** Fine genetic mapping fails to dissociate durable stem rust resistance gene *Sr2* from pseudo-black chaff in common wheat (*Triticum aestivum* L.). *Theoretical and Applied Genetics* 112: 492-499.
- Kumar, A., and Bennetzen, J.L. 1999.** Plant retrotransposons. *Annual Review of Genetics* 33: 479-532.
- Lander, E. S., Green, P., Abrahamson, J., Barlow, A., Daly, M.J., Lincoln, S.E., and Newburg, L. 1987.** MAPMAKER: an interactive computer package for constructing primary genetic linkage maps of experimental and natural populations. *Genomics* 1: 174–181.
- Ling, H.-Q., Zhu, Y., and Keller, B. 2003.** High-resolution mapping of the leaf rust disease resistance gene *Lr1* in wheat and characterization of BAC clones from the *Lr1* locus. *Theoretical and Applied Genetics* 106: 875-882.
- Mago, R., Miah, H., Lawrence, G.J., Wellings, C.R., Spielmeyer, W., Bariana, H.S., McIntosh, R.A., Pryor, A.J., and Ellis, J.G. 2005.** High-resolution mapping and mutation analysis separate the rust resistance genes *Sr31*, *Lr26* and *Yr9* on the short arm of rye chromosome 1. *Theoretical and Applied Genetics* 112: 41-50.
- McIntosh, R.A., Silk, J., and The, T.T. 1996.** Cytogenetic studies in wheat XVII. Monosomic analysis and linkage relationships of gene *Yr15* for resistance to stripe rust. *Euphytica* 89: 395-399.
- Peng, J.H., Fahima, T., Röder, M.S., Huang, Q.Y., Dahan, A., Li, Y.C., Grama, A., and Nevo, E. 2000.** High-density molecular map of chromosome region harboring stripe-rust resistance genes *YrH52* and *Yr15* derived from wild emmer wheat, *Triticum dicoccoides*. *Genetica* 109: 199–210.
- Peng , J.H., Zadeh, H., Lazo, G.R., Gustafson, J.P., Chao, S., Anderson, O.D., Qi, L.L., Echalier, B., Gill, B.S., Dilbirligi, M., Sandhu, D., Gill, K.S., Greene, R.A., Sorrells, M.E., Akhunov, E.D., Dvorak, J., Linkiewicz, A.M., Dubcovsky, J., Hossain, K.G., Kalavacharla, V., Kianian, S.F., Mahmoud Miftahudin, A.A.,**

- Colney, E.J., Anderson, J.A., Pathan, M.S., Nguyen, H.T., McGuire, P.E., Qualset, C.O., and Lapitan, N.L.V. 2004.** Chromosome bin map of expressed sequence tags in homologous group 1 of hexaploid wheat and homoeology with rice and *Arabidopsis*. *Genetics* 168: 609-623.
- Sandhu, D., Champoux, J.A., Bondareva, S.N., and Gill, K.S. 2001.** Identification and physical localization of useful genes and markers to a major gene-rich region on wheat group 1S chromosomes. *Genetics* 157: 1735-1747.
- Sandhu, D., and Gill, K.S. 2002.** Gene-containing regions of wheat and the other grass genomes. *Plant Physiology* 128: 803-811.
- SanMiguel, P., Gaut, B.S., Tikhonov, A., Nakajima, Y., and Bennetzen, J.L. 1998.** The paleontology of intergene retrotransposons of maize. *Nature Genetics* 20: 43-45.
- Singh, R.P., William, H.M., Huerta-Espino, J., and Rosewarne, G. 2004.** Wheat rust in Asia: Meeting the challenges with old and new technologies. Proceedings of the 4th International Crop Science Congress, 26 Sep. -1 Oct., Brisbane, Australia.
- Stein, N., Feuillet, C., Wicker, T., Schlagenhauf, E., and Keller, B. 2000.** Subgenome chromosome walking in wheat: A 450-kb physical contig in *Triticum monococcum* L. spans the *Lr10* resistance locus in hexaploid wheat (*Triticum aestivum* L.). *Proceedings of National Academy of Sciences, USA* 97: 13436-13441.
- Sun, G.L., Fahima, T., Korol, A.B., Turpeinen, T., Grama, A., Ronin, Y.L., and Nevo, E. 1997.** Identification of molecular markers linked to the *Yr15* stripe rust resistance gene of wheat originated in wild emmer wheat, *Triticum dicoccoides*. *Theoretical and Applied Genetics* 95: 622-628.
- Talbert, L.E., Blake, N.K., Storlie, E.W., and Lavin, M. 1995.** Variability in wheat based on low copy DNA sequence comparisons. *Genome* 38: 951-957.
- Waugh, R., McLean, K., Flavell, A.J., Pearce, S.R., Kumar, A., Thomas, B.B.T., and Powell, W. 1997.** Genetic distribution of Bare-1-like retrotransposable elements in the barley genome revealed by sequence-specific amplification polymorphisms (S-SAP). *Molecular and General Genetics* 253: 687-694.
- Yan, G.P., Chen, X.M., Line, R.F., and Wellings, C.R. 2003.** Resistance gene-analog polymorphism markers co-segregating with the *Yr5* gene for resistance to wheat

stripe rust. *Theoretical and Applied Genetics* 106: 636-643.

Yu, G.-X., and Wise, R.P. 2000. An anchored AFLP- and retrotransposon-based map of diploid *Avena*. *Genome* 43: 736-749.

